

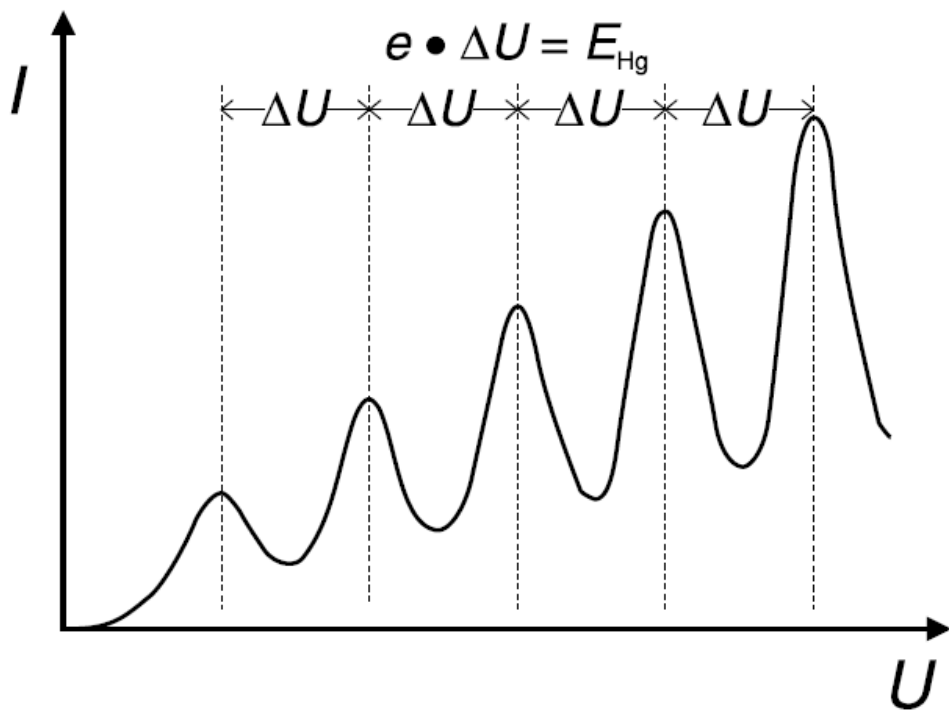
## EXPERIMENTUL FRANK-HERTZ

### Obiectivele experimentului

1. Obtinerea curbei Frank-Hertz pentru mercur.
2. Masurarea pierderii discontinue de energie a electronilor liberi pentru ciocniri inelestice.
3. Interpretarea rezultatelor masurate ca reprezentand absorbtie de energie discreta a atomilor de mercur.

### Principii

In 1914 James Franck si Gustav Hertz reportau pierderea de energie ce apare in pasi distincti a electronilor ce trec prin vaporii de mercur si care corespunde emisiei liniei in ultraviolet ( $\lambda=254$  nm) a mercurului. Doar cateva luni mai tarziu, Niels Bohr recunostea ca experimentul mai sus mentionat confirma modelul sau. Experimentul Franck-Hertz este deci un experiment clasic de confirmare a teoriei cuantice.



Intr-un tub în prealabil vidat, vaporii de mercur sunt tinuti la o presiune de apoximativ 15 hPa, care este mentinuta constanta de un sistem de control al temperaturii.

Experimentul investigheaza pierderea de energie a electronilor liberi datorata ciocnirilor inelastice si deci excitarii prin ciocnire a atomilor de mercur.

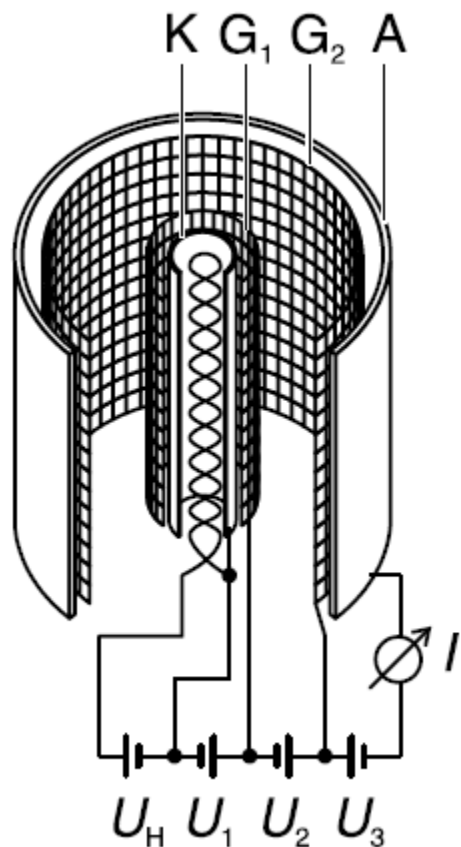


Figura 1: Diagrama schematică a tubului Franck-Hertz cu mercur

#### Aparatul

- 1 tub Frank-Hertz
- 1 conexiune pentru alimentarea tubului Frank-Hertz
- 1 cupor electric cu alimentare la 220 V
- 1 alimentator pentru tubul Frank-Hertz
- 1 termocuplu NiCr-Ni

Tubul de sticla contine un sistem cilindric simetric de patru electrozi (vezi Fig.1). Catodul K este inconjurat de un electrod de control tip grila G<sub>1</sub> la o distanta de cateva zecimi de milimetru, de o grila de accelerare G<sub>2</sub> la o distanta ceva mai mare, iar in final de un

electrod colector A. Catodul este incalzit indirect pentru a preveni aparitia unui potential neuniform de-a lungul sau.

Electronii sunt emisi de catodul incalzit si formeaza un nor de sarcina in jurul sau. Acesteia sunt atrasii de diferenta de potential dintre catod si grila  $G_1$ . Curentul de emisie este practic independent de potentialul accelerator  $U_2$  dintre grilele  $G_1$  si  $G_2$ . Intre grila  $G_2$  si colectorul A este aplicat un potential de incetinire  $U_3$ . Numai electronii cu o energie cinetica suficienta pot ajunge pe colectorul A si sa contribuie la curentul masurat  $I_A$ .

In acest experiment se masoara curentul  $I_A$  astfel ca potentialul de accelerare  $U_2$  sa fie variat intre 0 si 30 V, in timp de potentiialele  $U_1$  si  $U_3$  sunt mentinute constante. Curentul  $I_A$  creste initial ca intr-o tetroda, pana cand electronii din apropierea grilei  $G_2$  capata o energie suficienta sa excite atomii de mercur ( $E_{Hg}=4,9$  eV) prin ciocniri. Curentul colector scade puternic deoarece electronii care au pierdut energie prin cioniri inelastice cu atomii de mercur nu pot ajunge pe colector datorita potentialului de incetinire  $U_3$ .

Crescand in continuare pe  $U_2$  electronii pot sa capete din nou o energie cinetica suficienta pentru a excita prin cioniri inelastice din nou vaporii de mercur. Rezultatul este aparitia celui de al doilea minim al lui  $I_A$  urmat si de alte minime ale curentului colector, prin cresterea in continuare a lui  $U_2$ .

### **Remarca preliminara**

Curba Franck-Hertz completa poate fi obtinuta manual. Pentru o mai rapida efectuare a experimentului, spre exemplu pentru optimizarea parametrilor, recomandam utilizarea unui osciloscop. Totusi, este de remarcat ca la frecventa necesara pentru a produce unde stationare pe osciloscop, capacitatea tubului Franck-Hertz devine semnificativa. Curentul necesar pentru a realimenta sarcina electrodului cauzeaza o usoara deplasare si distorsionare a curbei Franck-Hertz.

Se recomanda totusi pentru inregistrarea curbei Franck-Hertz un inregistrator XY.

#### **a) Masurarea manuala**

- Se seteaza aparatul pe pozitia MAN si se creste incet tensiunea  $U_2$  intre 0 si 30 V.
- Se citesc alternativ pe afisaj  $U_2$  si  $I_A$  folosind comutatorul de trecere intre masurarea celor doua marimi, la fiecare tensiune  $U_2$  aplicata.

#### **b) Reprezentarea pe osciloscop**

- Se conecteaza iesirea  $U_2/10$  la canalul II (0,5 V/Div) si iesirea de la  $U_A$  la canalul I (2 V/Div). Osciloscopul va functiona in modul XY.

- Se seteaza comutatorul modului de operare al unitatii de alimentare Franck-Hertz pe "Sawtooth".
- Se seteaza pozitia Y astfel ca partea superioara a curbei sa fie afisata complet.

### Montajul experimental

In figura 2 se ilustreaza montajul experimental:

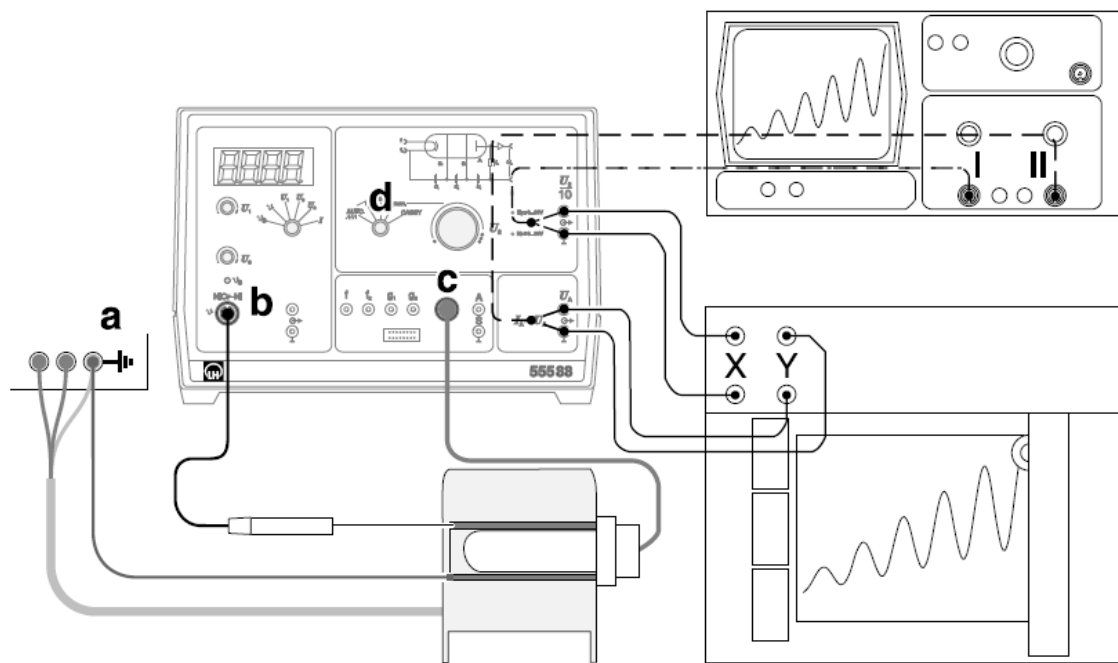


Figura 2: Montajul pentru experimentul Franck-Hertz

### Pentru inceput:

- Fiti siguri ca unitatea de alimentare Franck-Hertz este deconectata de la retea.
- -Conectati la pamant cuporul de incalzire prin cablul de protectie (**a**) prin unitatea de alimentare.
- Apoi conectati conductorul de cupru al ecranului de cupru la borna verde-galbena de protectie a alimentatorului (pamantul)
- Alimentati termocuplul legandu-l la borna (**b**) a alimentatorului si tubul Franck-Hertz la borna (**c**).

## Incalzirea

### Atentie

Daca contactul termic al termocuplului nu este bun, temperatura indicata va fi mai mica decat cea reala, ceea ce va duce la o supraincalzire a tubului Frank-Hertz.

- Introduceti termocuplul in canalul cuptorului astfel ca sa ajunga la marginea ecranului tubului Franck-Hertz al cuptorului.
- Rotiti comutatorul modului de operare (**d**) pe RESET si porniti unitatea de alimentare (dupa cateva secunde ledul indicator va deveni rosu in loc de verde).
- Stabiliti setarea temperaturii pe  $v_s=180\text{ }^{\circ}\text{C}$  si asteptati pana tubul se incalzeste la temperatura respectiva (ledul indicator devine verde in loc de rosu; temperatura atinge la inceput un maxim dupa care scade la o valoare constanta).

Daca indicatorul flameaza

- Exista o greseala in setarea pentru masurarea temperaturii (vezi instructiunile)!

### Optimizarea curbei Franck-Hertz

- Se seteaza potentialul  $U_1$  la 1,5 V si potentialul de stopare  $U_3$  la 1,5 V. Se obtine apoi curba Franck-Hertz (vezi remarcile anterioare).

#### a) Optimizarea temperaturii

Daca curba Franck-Hertz creste brusc (vezi Fig. 3a) se poate vedea o descarcare gazoasa in tub prin orificiul de intrare al cuptorului (o flama albastra). In acest caz:

- imediat rotiti comutatorul modului de operare pe pozitia RESET si asteptati pana se atinge temperatura de operare.
- daca este necesar, se creste temperatura prin folosirea potentiometrului corespunzator (spre exemplu cu  $5^{\circ}\text{C}$ ) si se asteapta cateva minute pana cand se stabilizeaza noul echilibru termic.

#### b) Optimizarea lui $U_1$ :

Un potential mai ridicat  $U_1$  conduce la un curent electronic de emisie mai mare.

Daca spre exemplu curba Franck-Hertz creste prea repede depasind limita de masura a curentului amplificatorului la valori ale lui  $U_2$  mai mici de 30 V iar curba este taiata (vezi Fig. 3b) atunci:

- se reduce  $U_1$  pana cand pasii curbei corespund la ceea ce ilustreaza Fig. 3d.

Daca curba Franck-Hertz este prea plata, spre exemplu curentul colectat  $I_A$  este mai mic de 5 nA in toata curba (vezi Fig. 3c) atunci:

- se creste  $U_1$  (maximum 4,8 V) pana cand pasii curbei arata ca in Fig. 3d).

Daca curba este plata si dupa cresterea lui  $U_1$  atunci:

- se reduce valoarea lui  $v_s$  a temperaturii cupitorului folosind potentiometrul corespunzator.

### c) Optimizarea lui $U_3$

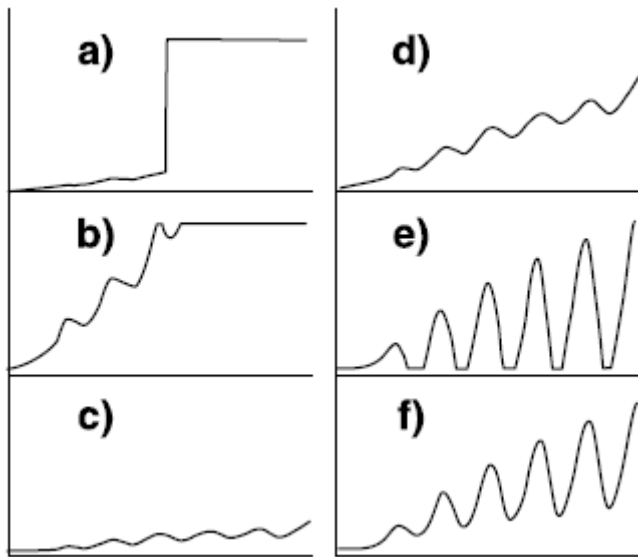
Un potential de intarziere  $U_3$  prea mare produce maxime si minime bine definite, dar in acelasi timp reduce curentul colectat.

Daca maximele si minimele curbei Franck-Hertz sunt insuficient de bine definite (vezi Fig. 3d) atunci:

- se creste alternativ la inceput  $U_3$  (maximum 4,5 V) si apoi potentialul  $U_1$  pana cand se obtine curba din Fig. 3f).

Daca minimele curbei sunt taiate jos ca in Fig. 3e atunci:

- se reduce alternativ la inceput  $U_3$  si dupa aceea  $U_1$  pana cand se obtine curba din Fig. 3f.



**Figura 3** Trecere in revista a optimizarii curbelor Franck-Hertz prin selectarea corecta a parametrilor  $\nu$ ,  $U_1$  si  $U_3$ .

#### Efectuarea finala a experimentului

- se inregistreaza curva Franck-Hertz (vezi remarcile preliminare).
- pentru evidențierea mai buna a primului minim se poate creste sensibilitatea pe Y și repeta procesul de inregistrare.

#### Exemple de masurare si evaluare

$$U_1 = 1,58 \text{ V}$$

$$U_3 = 3,95 \text{ V}$$

$$\nu_s = 180 \text{ } ^\circ\text{C}$$

In Fig. 4 media intervalelor dintre maximele succesive este  
 $\Delta U_2 = 5,1 \text{ V}$ .

Aceasta corespunde la o energie de transfer de

$$\Delta E = 5,1 \text{ eV}$$

Putem compara acum aceasta valoare cu valoarea de

$$E_{Hg} = 4,9 \text{ eV}$$

gasita in literatura pentru a excita atomii de mercur de pe starea fundamentala  $^1S_0$  pe prima stare excitata  $^3P_1$ .

Energia cinetica a electronilor pe grila  $G_2$  este

$$E_{\text{cin}} = e(U_1 + U_2)$$

Ne asteptam ca primul maxim al curentului sa nu poata sa apara pana cand  $U_1 + U_2 = 4,9$  V. De fapt primul maxim este inregistrat cand  $U_1 + U_2 = 8,1$  V. Diferenta dintre cele doua valori este potentialul efectiv de contact dintre catodul K si grila  $G_2$ .

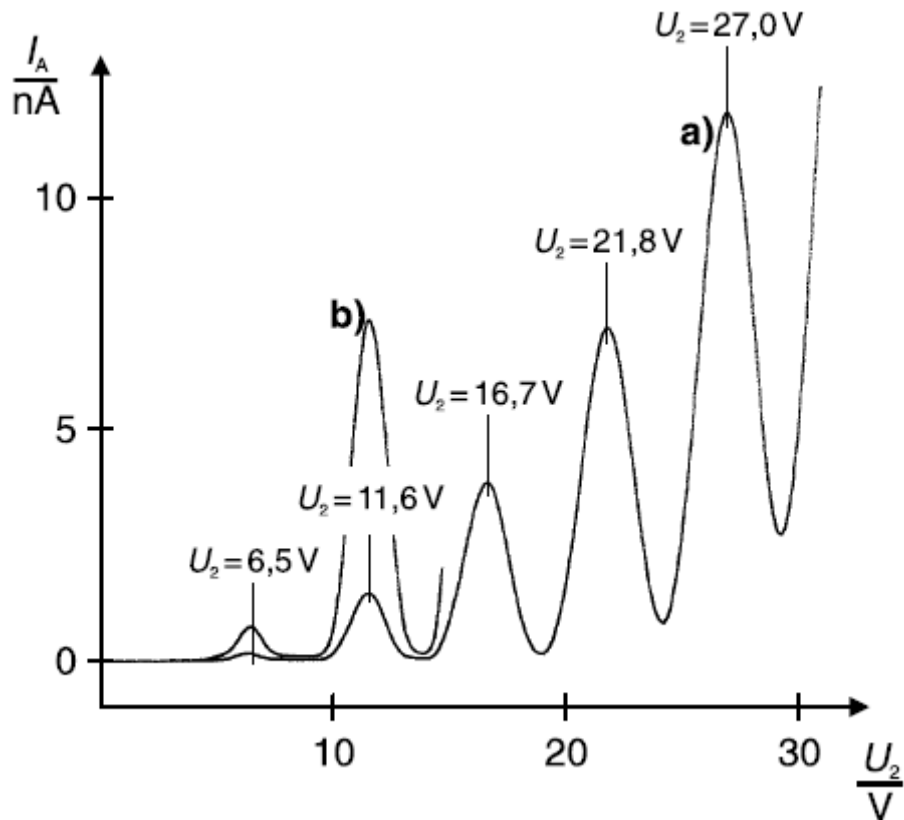


Figure 4 a) Curba Franck-Hertz; b) O portiune a curbei cu ordonata marita de cinci ori.

#### Informatie suplimentara

Un numar de factori poate influenta potentialul de contact mentionat mai sus. Cel mai important este urmatorul:

Potentialul real de contact este datorat diferitelor moduri de emisie ale catodului si materialele grilei. Proprietatile de emisie ale amestecului de oxizi al catodului joaca aici un rol important. In plus electronii emisi de catod au o energie cinetica initiala care depinde de temperatura catodului.

